

# Краткие сообщения

01

## Динамика системы двух связанных неидентичных генераторов Кислова—Дмитриева

© А.П. Кузнецов, В.И. Паксютов

Институт радиотехники и электроники РАН, Саратовский филиал,  
410019 Саратов, Россия  
e-mail: alkuz@sgu.ru

(Поступило в Редакцию 2 февраля 2007 г.)

Рассмотрена система, состоящая из двух связанных генераторов Кислова—Дмитриева. Изучено устройство плоскости параметров, управляющих бифуркациями удвоения периода в подсистемах, в зависимости от величины параметра связи. При существенно неидентичных значениях управляющих параметров подсистем продемонстрировано появление сценария перехода к хаосу через разрушение квазипериодического режима.

PACS: 02.60.Cь, 02.30.Oz, 05.45.Xt

Динамика связанных нелинейных систем, искусственно сконструированных и физически реализуемых, исследована в большом количестве работ. Определенное место среди них занимают работы, в которых исследуются связанные осцилляторы третьего порядка либо отображения, которые могут демонстрировать переход к хаосу через каскад бифуркаций удвоения периода при изменении некоторого управляющего параметра [1–7]. На сегодняшний день наиболее полно изучена динамика таких систем с идентичными по значению параметров подсистемами. Для них определены возможные режимы динамики и сценарии перехода к хаосу. В монографиях [1,2] и ряде других работ исследованы бифуркации симметричных систем связанных отображений, а в работах Мозекильде и др. [5,6] получен ряд результатов, справедливых как для произвольных систем связанных отображений, так и для произвольных симметричных систем связанных осцилляторов. В работах [7–9] на примере связанных осцилляторов Ван-дер-Поля и Ресслера ставится задача изучения устройства плоскостей параметров, отвечающих за бифуркации Андронова—Хопфа в удвоения периода в подсистемах.

В настоящей работе обсудим динамику двух связанных генераторов Кислова—Дмитриева в зависимости от параметров генераторов, управляющих бифуркациями Андронова—Хопфа, и удвоения периода. Будет рассмотрен случай существенно неидентичных подсистем и проведен анализ устройства плоскости параметров.

Физическая система, предложенная В.Я. Кисловым и А.С. Дмитриевым, представляет собой замкнутую в кольцо цепочку из нелинейного усилителя, RLC-фильтра и инерционного элемента, рис. 1 [10,11]. Эта система с запаздывающей обратной связью может демонстрировать режим хаотических автоколебаний.

Если предположить, что нелинейная характеристика усилителя имеет вид  $F(z) = mz \exp(-z^2)$ , то можно получить следующую систему уравнений, описы-

вающую динамику автономного кольцевого генератора Кислова—Дмитриева [10,11]:

$$\begin{aligned} T \frac{dx}{dt} + x &= mz \exp(-z^2), \\ \frac{dy}{dt} &= x - z, \\ \frac{dz}{dt} &= y - \frac{z}{Q}, \end{aligned} \quad (1)$$

где  $x$  — сигнал на выходе инерционного элемента,  $z$  — на входе усилителя,  $T$  — время релаксации инерционного элемента,  $Q$  — добротность RLC-фильтра,  $m$  — коэффициент усиления.

Система (1) является инвариантной относительно замены  $(x, y, z) \rightarrow (-x, -y, -z)$ , поскольку выбрана симметричная характеристика усилителя. Соответственно аттрактор системы должен быть также симметричным относительно начала координат в фазовом пространстве, либо должны существовать два аттрактора, являющихся симметричным отражением друг друга.

Система (1) в автономном режиме демонстрирует переход к хаосу через удвоение периода. В этом можно убедиться, если построить численно бифуркационное дерево, дающее зависимость от параметра  $m$  значений

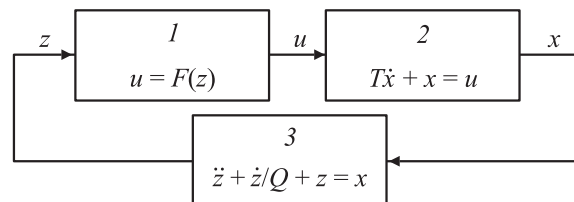
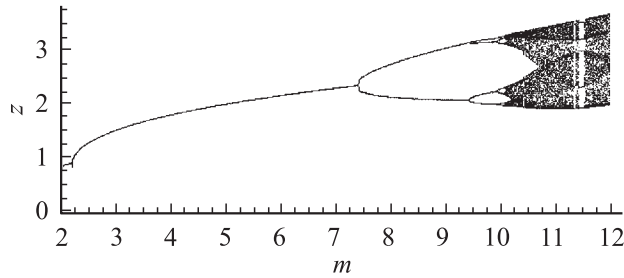


Рис. 1. Схема кольцевого генератора Дмитриева—Кислова: 1 — нелинейный усилитель, 2 — линейный элемент 1-го порядка, 3 — линейный фильтр 2-го порядка.



**Рис. 2.** Бифуркационное дерево автономного кольцевого генератора Кислова–Дмитриева.

переменной  $z$ , отвечающих пересечению фазовой траектории с некоторой выбранной секущей плоскостью Пуанкаре в фазовом пространстве. На рис. 2 показано такое дерево для одного из симметричных аттракторов системы. При построении бифуркационного дерева использовалось сечение Пуанкаре  $y = 0$ . Хорошо видны удвоения периода и переход к хаосу. Таким образом, в качестве параметра, управляющего удвоениями периода, можно использовать коэффициент усиления  $m$ .

Обратимся теперь к исследованию плоскости управляющих параметров системы, состоящей из двух генераторов Кислова–Дмитриева и описываемой следующими уравнениями:

$$T \frac{dx_1}{dt} = -x_1 + m_1 z_1 \exp(-z_1^2),$$

$$T \frac{dx_2}{dt} = -x_2 + m_2 z_2 \exp(-z_2^2),$$

$$\frac{dy_1}{dt} = x_1 - z_1 + \mu(y_2 - y_1),$$

$$\frac{dy_2}{dt} = x_2 - z_2 + \mu(y_1 - y_2),$$

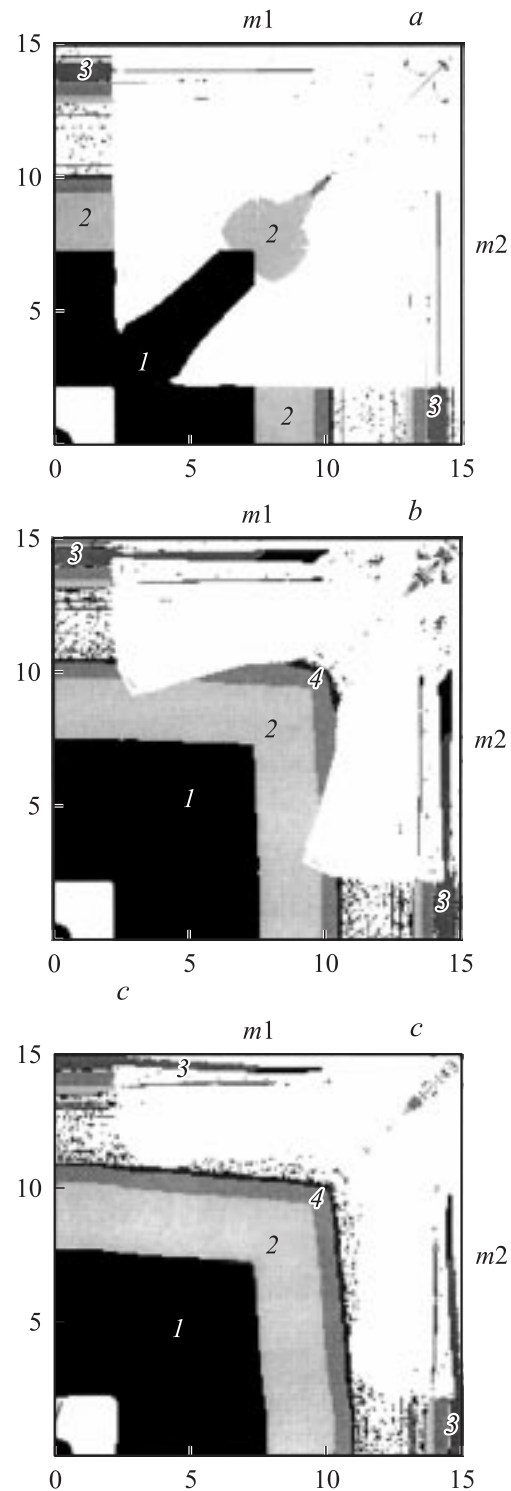
$$\frac{dz_1}{dt} = y_1 - z_1/Q, \quad \frac{dz_2}{dt} = y_2 - z_2/Q. \quad (2)$$

В качестве управляющих выберем параметры  $m_1$  и  $m_2$ , которые имеют физическое значение коэффициентов усиления каждого из генераторов. Безразмерные время релаксации  $T$  и добротность  $Q$  будем полагать постоянными. Слагаемые, ответственные за связь и пропорциональные  $\mu$ , добавлены во вторые уравнения подсистем.

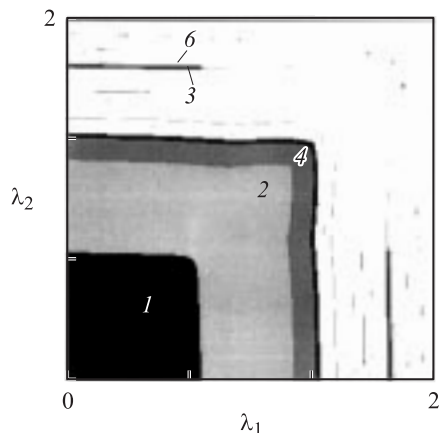
Для проведения численного исследования поведения системы в различных областях плоскости управляющих параметров был применен метод карт динамических режимов [11], на которых черным цветом и оттенками серого обозначены определяемые в результате компьютерного эксперимента различные периоды установившегося колебаний. Белый цвет соответствует хаотическому либо квазипериодическому поведению системы.

Периоды циклов при построении карт динамических режимов определялись численно с использованием метода сечений Пуанкаре. Для этого после достаточно

длительного переходного процесса, когда можно считать фазовую траекторию вышедшей на предельный цикл, определялись точки ее пересечения с секущей плоскостью. Но при этом рассматривались только траектории,



**Рис. 3.** Плоскость управляющих параметров двух связанных осцилляторов Кислова–Дмитриева. Цифрами обозначены периоды некоторых основных областей. Значения параметров:  $T = 5$ ,  $Q = 10$ ;  $a - \mu = 0.01$ ,  $b - 0.005$ ,  $c - 0.001$ .

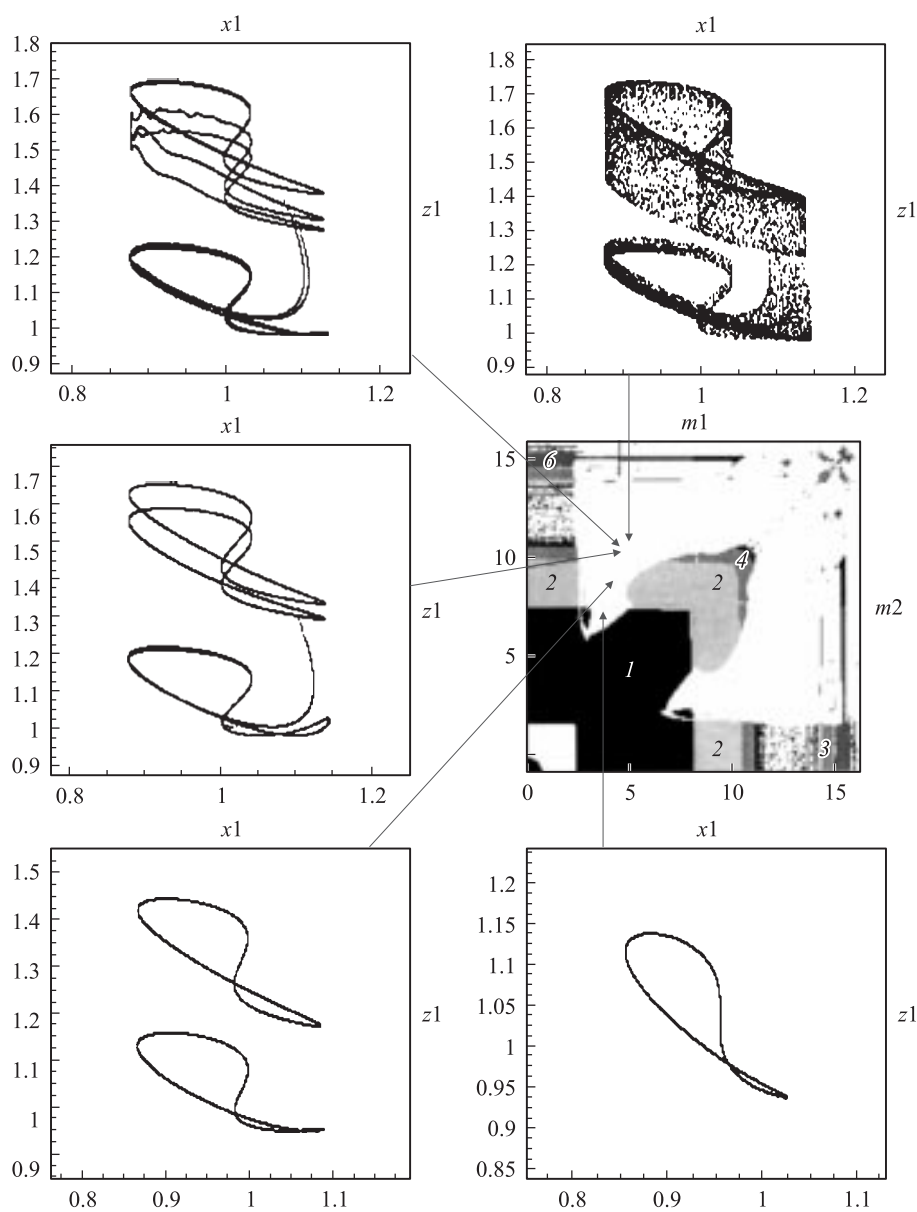


**Рис. 4.** Карта динамических режимов системы двух связанных логистических отображений (3) для значения коэффициента связи отображений  $\varepsilon = 0.03$ .

„протыкающие“ сечение Пуанкаре в одном направлении. Количество точек пересечения с секущей плоскостью принималось за период предельного цикла. В качестве сечения Пуанкаре при анализе системы (2) была выбрана плоскость, заданная соотношением  $y_1 + y_2 = 0$ .

На рис. 3 представлены три карты динамических режимов, построенные на плоскости  $(m_1, m_2)$  управляющих параметров системы (2) для различных уменьшающихся значений параметра связи.

При больших значениях параметра связи, как видно из рис. 3, *a*, увеличивая либо коэффициенты усиления каждого из генераторов, либо оба низких одновременно, можно наблюдать каскад бифуркаций удвоения периода, завершающийся переходом к хаосу. Границей хаотической области в этом случае служит непрерывная критическая фейгенбаумовская линия. Устройство плоскости



**Рис. 5.** Карта динамических режимов и инвариантные кривые системы (2). Значения параметров  $T = 5, Q = 10$ .

параметров, ответственных за удвоения, в этом случае оказывается аналогичным случаю простых связанных дискретных отображений.

Чтобы убедиться в этом, на рис. 4 показана найденная численно карта режимов для связанных отображений в виде

$$\begin{aligned}x_{n+1} &= 1 - \lambda_1 x_n^2 + \varepsilon(y_n - x_n), \\y_{n+1} &= 1 - \lambda_2 y_n^2 + \varepsilon(x_n - y_n).\end{aligned}\quad (3)$$

Карта построена на плоскости параметров  $(\lambda_1, \lambda_2)$ , отвечающих за удвоения периода каждого отдельного отображения.

Однако при уменьшении коэффициента связи на рис. 3, *b, c* можно видеть появление областей непериодических режимов (белый цвет), „вторгающихся“ внутрь областей удвоений тем сильнее, чем меньше коэффициент связи. В этом случае область периодических режимов (синхронизации) оказывается состоящей из трех „ветвей“, разделенных двумя „полуостровами“ непериодических режимов (рис. 3, *b, c*). Ясно, что в этом случае фейгенбаумовская линия перестает быть непрерывной и оказывается состоящей из отдельных отрезков.

Точки на картах динамических режимов (рис. 3), в которых имеют место квазипериодическое и хаотическое поведение, обозначаются одинаково белым цветом, поскольку метод карт динамических режимов не позволяет различать эти режимы. Для того чтобы выяснить их характер, карту следует дополнить фазовыми портретами в характерных точках (рис. 5).

Как можно видеть из рис. 5, при малых значениях управляющих параметров аттрактор в сечении Пуанкаре представляет собой замкнутую инвариантную кривую (тор), что отвечает квазипериодическому режиму колебаний. При движении по карте в сторону увеличения параметров инвариантная кривая раздваивается — сначала на две линии, затем на четыре и так далее. Таким образом, имеют место бифуркации удвоения инвариантной кривой (тора). После превышения управляющими параметрами некоторого критического значения инвариантная кривая начинает разрушаться, и точки траектории, лежащие в сечении Пуанкаре, полностью заполняют ограниченную область на секущей плоскости. Это свидетельствует о возникновении хаотической динамики. Таким образом, можно говорить о реализации в системах связанных генераторов Кислова–Дмитриева сценария перехода к хаосу через разрушение квазипериодического поведения при существенно несимметричных по значению управляющего параметра подсистемах. Следует отметить, что похожие особенности динамики демонстрируют связанные системы Рёсслера [9], что свидетельствует об общности полученных результатов для дифференциальных систем с удвоениями периода. В то же время важным является представление примера, допускающего физическую реализацию.

Таким образом, в настоящей работе исследована система, состоящая из двух генераторов Кислова–Дмитриева. Продемонстрировано, что устройство плоскости

параметров, отвечающих за удвоение периода в подсистемах, при возрастании коэффициента связи стовится аналогичным устройству плоскости параметров связанных логистических отображений. При уменьшении параметра связи в область периодических режимов „вторгаются“ два острова квазипериодических режимов, появление которых не имеет аналога в дискретных моделях, и обусловлено существованием предельных циклов в автономных дифференциальных системах. Фейгенбаумовские критические линии в этом случае заканчиваются на границах квазипериодической динамики. В исследуемой системе возможны бифуркации удвоения торов и разрушение инвариантной кривой.

Работа поддержана грантом РФФИ 06-02-16773.

## Список литературы

- [1] Анищенко В.С., Вадивасова Т.Е., Астахов В.В. Нелинейная динамика хаотических и стохастических систем. Саратов. Изд-во Саратовского ун-та, 1999.
- [2] Mosekilde E., Maistrenko Y., Postnov D. // World Scientific Series on Nonlinear Science. 2002. Series A. Vol. 42. 440 p.
- [3] Yuna J.-M., Tung M., Feng D.H., and Narducci L.M. // Phys. Rev. A. 1983. Vol. 28. N 3. P. 1662.
- [4] Кузнецов А.П., Седова Ю.В., Сатаев И.Р. // Изв. вузов. ПНД. 2004. Т. 12. № 5.
- [5] Reike C., Mosekilde E. // Phys. Rev. E52. 1995. P. 1418.
- [6] Rasmussen J., Mosekilde E., Reick C. // Mathematics and Computers in Simulation. 1996. Vol. 40. P. 247–270.
- [7] Иванченко М.В., Осипов Г.А., Шалфеев В.Д. // Тр. 6-й науч. конф. по радиофизике / Под ред. А.В. Якимова. Н. Новгород, 2002. С. 114–115.
- [8] Кузнецов А.П., Паксютов В.И. // Изв. Вузов. ПНД. 2005. Т. 13. № 4.
- [9] Кузнецов А.П., Паксютов В.И. // Письма в ЖТФ. 2006. Т. 32. Вып. 7. С. 54–60.
- [10] Дмитриев А.С., Кислов В.Я. Стохастические колебания в радиофизике и электронике. М.: Наука, 1989. 280 с.
- [11] Кузнецов С.П. Динамический хаос. М.: Физматлит, 2006. 356 с;